ФЕДЕРАЛЬНОЕ АГЕНТСТВО ПО ОБРАЗОВАНИЮ

ГОСУДАРСТВЕННОЕ ОБРАЗОВАТЕЛЬНОЕ УЧРЕЖДЕНИЕ ВЫСШЕГО ПРОФЕССИОНАЛЬНОГО ОБРАЗОВАНИЯ «БИРСКАЯ ГОСУДАРСТВЕННАЯ СОЦИАЛЬНО-ПЕДАГОГИЧЕСКАЯ АКАДЕМИЯ»

УДК 551.511+533	VT	ВЕРЖДАЮ
		ын ждаго
	Ректор, д. фм. н., п	nahaaan
	-	
		Усманов С.М.
	«»	2007 г.
ОТЧЕТ		
О НАУЧНО-ИССЛЕДОВАТЕЛЬО	СКОЙ РАБО	OTE
«ЧИСЛЕННОЕ МОДЕЛИРОВАНИЕ ДИНА		
ВЫБРОСА ПРОПАНА, СОПРОВОЖДА		РЕНИЕМ,
В ПРИЗЕМНОМ СЛОЕ АТМ	ОСФЕРЫ»	
Государственный контракт № 02	.517.11.9011	
в рамках ФЦНТП «Исследования и разработки по приорите технологического комплекса России на	тным направл	
Texholorn reckord komisieked i ocenn he	2007 2012 10	ды
Научный руководитель		
-		_ Хамидуллин И.Р.
	подпись, дата	

СПИСОК ОСНОВНЫХ ИСПОЛНИТЕЛЕЙ

Научный руководитель		 Хамидуллин И.Р.
	подпись, дата	(раздел(ы) $1 - 4$)
Исполнители темы		
к. фм. н., доцент		Баянов И.М.
	подпись, дата	(раздел $($ ы $)$ $ 1-4)$
		Хамидуллин И.Р.
	подпись, дата	$\underline{}$ (раздел(ы) $\underline{1-4}$)

РЕФЕРАТ

Отчет <u>18</u> с., <u>4</u> ч., <u>5</u> рис., <u>0</u> табл., <u>15</u> источников, <u>0</u> прил.

ГОРЕНИЕ, МОДЕЛЬ, ГОРЮЧИЕ СМЕСИ, ВЫБРОСЫ, УГЛЕВОДОРОДЫ

В данной работе рассмотрен процесс горения газообразной смеси углеводородов с воздухом на основе двух предельных схем горения углеводородов в открытой атмосфере – диффузионного горения и упрощенной модели диссоциации продуктов горения. На основе уравнений физико-химической гидродинамики представлена модель распространения облака смеси углеводорода и воздуха, сопровождаемого реакцией горения. Распространение примесей в атмосфере сопровождается турбулентным переносом (диффузия, вязкость, теплопроводность), фазовыми переходами (конденсация, испарение, кристаллизация), химических превращениями.

Физико-химические свойства выбрасываемых в атмосферу соединений определяют их дальнейшее поведение в атмосфере. Легко испаряющиеся вещества (например, ацетон, бензин и т.п.) интенсивно перемешиваются с атмосферным воздухом и образуют взрывоопасные облака, простирающиеся на большие территории. Соединения тяжелее воздуха движутся вдоль земной поверхности и накапливаются в углублениях пересеченной местности, также образуя облако с взрывоопасным составом. В данной работе в качестве горючего газа рассматривается пропан.

Получены поля температуры и давления при горении пропана в открытой местности и наличии наземных объектов. Рассчитаны зоны разрушений и теплового воздействия продуктов горения на местности. Показано, что наличие наземных объектов существенно усиливает разрушительное действие горения облака выбросов. Это обусловлено, во-первых, затягиванием 1.2-1.5 раза процесса рассеяния облака — концентрация горючего газа дольше находится в диапазоне воспламенения смеси, во-вторых, усилением в 1.5-2 раза избыточного давления в ограниченных объемах между объектами.

СОДЕРЖАНИЕ

Введение	5
1. Основные уравнения	
2. Начальные и граничные условия	
3. Численная схема	
4. Результаты расчетов	13
Заключение	17
Список использованных источников	

ВВЕДЕНИЕ

В ближайшие десятилетия объемы потребления легких углеводородных соединений, как одного из главных источников энергии, будет только возрастать. В частности это связано с большими запасами природного газа в виде газогидратов. Природный газ обладает такими достоинствами, как достаточно высокая экологическая чистота продуктов сгорания, сравнительно дешевая добыча и транспортировка. Однако при нормальных условиях природный газ имеет большой удельный объем, поэтому хранение и транспорт осуществляется при высоких давлениях. Все это значительно повышает вероятность аварийных ситуаций из-за нарушений герметичности емкостей и трубопроводов. Кроме того, природный газ используется как топливо в различных видах транспорта, что повышает риск их применения в качестве взрывных устройств экстремистскими группировками. Все это требует глубокого изучения закономерностей распространения выбросов углеводородных соединений последующего образовавшейся смеси в открытой атмосфере в городских каньонах, сложной пересеченной местности и т.д.

Моделирование таких процессов и их последствий путем натурных физических экспериментов была и является основным способом исследований, но требует больших материальных ресурсов. В настоящее время, благодаря успехам в развитии компьютерной техники, наиболее рациональным и распространенным методом является моделирование динамики выбросов в атмосфере, которое позволяет проводить прогнозирование последствий, оценку ущерба и разработку мер защиты. Последствия аварий, сопровождаемых горением газовоздушных облаков, оцениваются по размерам зоны разрушений и зоны, подвергшейся тепловому воздействию продуктов горения. Большинство промышленных зданий разрушается от избыточных давлений 25 - 30 кПа при внешних и 20 - 25 кПа при внутренних взрывах [1]. Зона теплового воздействия определяется безопасным для живых организмов расстоянием от центра взрыва, которое по оценкам [2] должно в 3-4 раза превышать радиус образующегося огненного шара продуктов горения ($R_{EV} \approx 3.6 R_{FR}$). Таким образом, основной задачей численного моделирования горения облака углеводорода на местности является оценка зон разрушения и теплового воздействия продуктов горения на основе рассчитанных полей давления и температуры.

Теоретические и экспериментальные исследования процессов горения горючих смесей углеводородных соединений с воздухом показывают, что эти процессы проходят через несколько десятков стадий с образованием множества промежуточных продуктов горения [3]. Теоретические модели, учитывающие все эти стадии, требуют привлечения больших ресурсов вычислительной

техники. Ситуация еще более усложняется, если учесть образование твердых частиц сажи и связанные с этим радиационные потери энергии пламени [4,5].

Но часто при аварийных выбросах горючие вещества в результате достаточно длительного процесса накопления и перемешивания с окружающим воздухом успевают выровняться по температуре с окружающей атмосферой, превратиться в разбавленную гомогенную смесь с избытком кислорода. Такие обедненные смеси будут гореть без образования сажи, и теоретическое описание несколько упрощается.

В то же время при горении больших объемов горючих смесей в открытой местности процессы переноса (диффузия и теплопроводность) не успевают рассеять из очага активного горения выделяющуюся энергию, и процесс идет практически в адиабатическом режиме. Элементарные оценки показывают, что температура в очаге горения должна достигать нескольких тысяч градусов. В действительности, однако, такие высокие температуры не могут быть достигнуты вследствие затрат тепла на диссоциацию составляющих горючей смеси и продуктов сгорания. При высокой температуре образуются большие количества CO, H_2 , OH, O и NO.

Вклад процесса диссоциации в тепловой баланс становится более значительным с повышением температуры пламени. В частности, при горении кислородно-углеводородных стехиометрических смесей этот вклад настолько велик, что температура пламени из-за этих эффектов оказывается практически в два раза ниже рассчитанной без учета диссоциации [6]. В углеводородно-воздушных смесях при наличии большого количества нереагирующего балласта (азота) температура намного ниже и степень диссоциации значительно уменьшается. Это также позволяет в ряде случаев пренебречь процессами диссоциации и тем самым значительно упростить теоретическую модель.

При описании сложных химических реакций, к которым относится горение углеводородов, из-за недостатка точных знаний кинетических механизмов и констант скорости отдельных стадий обычно используются кинетические уравнения для суммарной скорости бругто-реакции превращения исходных веществ в конечные продукты. При определении интенсивности этих брутто-реакций используются различные гипотезы и соответствующие эмпирические зависимости. При этом константы химических реакций подбираются путем обработки экспериментальных данных. В частности, для процессов горения углеводородов в справочниках [7] приведены эмпирические зависимости скорости реакции от температуры, концентраций топлива и окислителя в соответствии со стехиометрической бругто-формулой. Они могут быть использованы в простых моделях для расчетов конечного состава и состояния смеси веществ после реакции, но не позволяют с достаточной точностью описать эволюцию гидро- и термодинамических параметров смеси в ходе самой реакции. Наряду с этим существуют также достаточно громоздкие модели, в которых учитываются сотни промежуточных стадий горения углеводородов, требующие для расчетов большие вычислительные ресурсы.

В ряде случаев можно обойтись более простыми моделями, учитывающими сравнительно небольшое количество промежуточных стадий, оказывающих доминирующее влияние на интенсивность и тепловой баланс суммарной реакции [3,5,8]. Эти достаточно простые теоретические постановки обладают большим предсказательным ресурсом для ряда явлений в плане предсказания избыточных давлений и температур, представляющих наибольший практический интерес.

В данной работе рассмотрен процесс горения газообразной смеси углеводородов с воздухом на основе двух предельных схем горения углеводородов в открытой атмосфере – диффузионного горения и упрощенной модели диссоциации продуктов горения. На основе уравнений физико-химической гидродинамики представлена модель распространения облака смеси углеводорода и воздуха, сопровождаемого реакцией горения. Распространение примесей в атмосфере сопровождается турбулентным переносом (диффузия, вязкость, теплопроводность), фазовыми переходами (конденсация, испарение, кристаллизация), химических превращениями.

Физико-химические свойства выбрасываемых в атмосферу соединений определяют их дальнейшее поведение в атмосфере. Легко испаряющиеся вещества (например, ацетон, бензин и т.п.) интенсивно перемешиваются с атмосферным воздухом и образуют взрывоопасные облака, простирающиеся на большие территории. Соединения тяжелее воздуха движутся вдоль земной поверхности и накапливаются в углублениях пересеченной местности, также образуя облако с взрывоопасным составом. В данной работе в качестве горючего газа рассматривается пропан.

1. ОСНОВНЫЕ УРАВНЕНИЯ

Рассмотрим облако как смесь газов, которая принимается за гомогенную среду с плотностью ρ , температурой T, давлением p. Пусть $\stackrel{\bf r}{v} = \stackrel{\bf r}{v}(x,y,z,t)$ скорость этой среды, определяемая как среднемассовая скорость составляющих

$$\mathbf{r}_{v}^{\mathbf{r}} = \sum_{i} r_{i} v_{i} \,. \tag{1}$$

Введем среднемассовые концентрации каждой компоненты смеси $k_i = r_i/r$. Здесь и в дальнейшем индексы $i=1,\ldots$, 6 будут соответствовать углеводороду, кислороду, углекислому газу, водяному пару, окиси углерода и азоту $(C_nH_m,\ O_2,\ CO_2,\ H_2O,\ CO,\ N_2)$. Эти значения концентраций удовлетворяют условию

$$\sum_{i} k_i = 1. \tag{2}$$

Для смеси газов выполняется закон Дальтона, и для определения давления смеси используем уравнение Менделеева-Клапейрона

$$p = rR_g T, R_g = R \sum_i \frac{k_i}{\mathbf{m}_i}$$
 (3)

где R – универсальная газовая постоянная, m_i – молярные массы газов.

На основе принятых предположений можем записать систему, описывающую динамику облака газов, в которую входят уравнения неразрывности, диффузии, импульсов для всей смеси и уравнение теплового баланса.

$$\frac{\partial \mathbf{r}}{\partial t} + \nabla^k \mathbf{r} v^k = 0, \qquad (4)$$

$$r\frac{dk_i}{dt} = -\nabla^k \left(r \frac{\mathbf{n}_t}{\mathbf{S}_d} \nabla^k k_i \right) + R_i,$$
 (5)

$$r\frac{dv^k}{dt} = -\nabla^k p + rg^k + \nabla^n t^{kn}, \tag{6}$$

$$rc\frac{dT}{dt} = \nabla^k \left(r \frac{\mathbf{n}_t}{\mathbf{S}_t} \nabla^k T \right) + q_1 R_1 + q_6 R_6 - Q_r, \qquad (7)$$

где k_i — массовые концентрации компонент смеси, R_i — скорости изменения концентраций в результате химической реакции, q_1,q_6 — удельные теплоты сгорания углеводорода и окиси углерода, Q_r — тепловой вклад диссоциации продуктов сгорания. Удельная теплоемкость смеси определяется через удельные теплоемкости компонент

$$c_p = \sum_i c_{pi} k_i . (8)$$

Для более полного описания процессов тепломассопереноса к данной системе уравнений (3)- (7) добавляются дополнительные уравнения k-e-модели для определения энергии турбулентных пульсаций K, диссипации e и для коэффициента кинетической турбулентной вязкости n,

$$r\frac{dK}{dt} = \nabla^{k} \left(r \frac{\mathbf{n}_{t}}{\mathbf{s}_{K}} \nabla^{k} K \right) + t^{kn} \nabla^{k} v^{n} - r \mathbf{e} , \qquad (9)$$

$$r\frac{de}{dt} = \nabla^{k} \left(r \frac{\mathbf{n}_{t}}{\mathbf{s}_{e}} \nabla^{k} e \right) + \frac{e}{K} \left(C_{1e} t^{kn} \nabla^{k} v^{n} - C_{1e} r e \right), \tag{10}$$

$$\boldsymbol{n}_{t} = C_{m}K^{2}/\boldsymbol{e} . \tag{11}$$

3десь $\boldsymbol{t}^{kn} = \boldsymbol{r}\boldsymbol{n}_t \bigg(\nabla^n v^k + \nabla^k v^n - \frac{2}{3} \nabla^j v^j \boldsymbol{d}_{kn} \bigg) - \frac{2}{3} \boldsymbol{r} \boldsymbol{K} \boldsymbol{d}_{kn}$ — турбулентная составляющая тензора касательных напряжений, $C_{m} = 0.09$, $C_{e1} = 1.43$, $C_{e2} = 1.92$, $\boldsymbol{s}_{K} = 1$, $\boldsymbol{s}_{e} = 1.3$ — эмпирические константы.

Для описания химических реакций рассмотрим два предельные схемы горения смеси углеводорода с воздухом в открытой атмосфере. В первой схеме скорость реакции лимитируется скоростью перемешивания смеси, а химические реакции считаются бесконечно быстрыми. Во второй схеме, скорость реакции определяется температурой смеси (через соотношения Аррениуса) и считается, что перемешивание смеси, следовательно, и доставка окислителя к топливу происходят мгновенно.

Согласно первой схеме изменение химического состава смеси происходит по бруттореакции, которая является необратимой [7]

$$C_n H_m + n_2 O_2 \rightarrow n_6 C O_2 + n_4 H_2 O$$
. (12)

По этой схеме [9], скорость химической реакции горения углеводорода определяется характерным временем турбулентного смешения компонент t = K/e:

$$R_{1} = A r \frac{e}{K} \min \left(k_{1}, \frac{k_{2} m_{1}}{n_{2} m_{2}}, \frac{k_{4} m_{1}}{n_{4} m_{4}}, \frac{k_{6} m_{1}}{n_{6} m_{6}} \right), \tag{13}$$

здесь A=4 - эмпирическая константа. Такой подход характерен для моделирования процессов горения больших объемов смеси в открытой атмосфере, когда размеры расчетной ячейки относительно большие, и в ячейке реализуется диффузионный режим горения. Скорости изменения концентраций других компонент смеси через R_1 выражаются по формулам:

$$R_2 = -R_1 n_2 m_2 / m_1$$
, $R_4 = R_1 n_4 m_4 / m_1$, $R_6 = R_1 n_6 m_6 / m_1$.

Согласно второй схеме учитываются процессы образования монооксида углерода [10]

$$C_n H_m + n_2 O_2 \rightarrow n_5 CO + n_4 H_2 O, \quad 2CO + O_2 \leftrightarrow 2CO_2.$$
 (14)

Также учитывается диссоциация молекул воды и азота горения при высокой температуре согласно следующим схемам.

$$H_2O \leftrightarrow OH + H$$
, $N_2 + O_2 \leftrightarrow 2NO$. (15)

Как показывают оценки, концентрации окисей водорода и азота (*OH* и *NO*) при температурах ниже 2500 K, реализуемых для рассматриваемых смесей малы (~1%). Кроме того, характерные времена химических превращений с образованием и рекомбинацией этих компонент значительно меньше по сравнению с временами диффузионного перемешивания. Поэтому дополнительным диффузионным переносом этих составляющих смеси в общем балансе масс будем пренебрегать. В соответствии с этими допущениями уравнение масс для окисей водорода и азота имеет вид

$$r\frac{dk_{r,j}}{dt} = R_{r,j}, (16)$$

где $k_{r,j}$, (j = 1,2) — концентрации OH и NO, $R_{r,j}$ — скорости изменения концентраций в результате диссоциации.

В то же время образование и исчезновение *ОН* и *NO* сопровождается значительными тепловыми эффектами, поэтому будем учитывать их вклад в теплоемкость (8) и в уравнение теплового баланса (7)

$$Q_r = q_{r1}(R_{r1}^+ - R_{r1}^-) + q_{r2}(R_{r2}^+ - R_{r2}^-).$$

Здесь q_{r1}, q_{r2} — удельные теплоты образования, $R_{r1}^+, R_{r1}^-, R_{r2}^+, R_{r2}^-$ — скорости реакции образования и рекомбинации *OH* и *NO*, соответственно.

Скорость реакции горения углеводорода определяется согласно соотношению Аррениуса

$$R_{1} = \frac{rmk_{1}}{m_{1}} \frac{rmk_{2}}{m_{2}} A_{1} \exp\left(-\frac{E_{a1}}{RT}\right). \tag{17}$$

Реакция горения окиси углерода обратима, поэтому скорости прямой и обратной реакции выражаются соотношениями [10]

$$R_{2}^{+} = \frac{rmk_{5}}{m_{5}} \frac{rmk_{2}}{m_{2}} A_{2} \exp\left(-\frac{E_{a2}}{RT}\right), \quad R_{2}^{-} = r^{2} \frac{mk_{3}}{m_{3}} A_{3} \exp\left(-\frac{E_{a3}}{RT}\right)$$
(18)

где A_1, A_2, A_3 — константы реакции, E_{a1}, E_{a2}, E_{a3} — энергии активации. Скорости изменения концентраций других компонент смеси через R_1, R_2^+ и R_2^- выражаются по формулам [10]:

$$R_2 = -R_1 n_2 m_2 - R_2^+ m_2, \quad R_3 = 2R_2^+ m_3 - 2R_2^- m_3, \quad R_4 = R_1 n_4 m_4, \quad R_5 = R_1 n_5 m_5 - 2R_2^+ m_5 + 2R_2^- m_5.$$

Константы реакций диссоциации и рекомбинации (15) имеют вид [7]

$$R_{r1}^{+} = r^{2} \frac{mk_{4}}{m_{4}} A_{r1}^{+} \exp\left(-\frac{E_{ar1}}{RT}\right), \quad R_{r1}^{-} = r^{2} \frac{mk_{r1}}{m_{r1}} A_{r1}^{-} T^{n_{1}},$$

$$R_{r2}^{+} = r^{2} \frac{mk_{2}}{m_{2}} A_{r2}^{+} \exp\left(-\frac{E_{ar2}}{RT}\right), \quad R_{r2}^{-} = r^{2} \frac{mk_{r2}}{m_{r2}} A_{r2}^{-} T^{n_{2}}.$$

$$(19)$$

2. НАЧАЛЬНЫЕ И ГРАНИЧНЫЕ УСЛОВИЯ

При залповых аварийных выбросах углеводородов образуется облако произвольной формы. Но в процессе горения облака в открытой атмосфере начальная форма практически не играет роли и облако горячих продуктов горения в большинстве случаев принимает форму шара. Поэтому в дальнейшем для удобства расчетов на прямоугольной сетке примем начальную форму облака в виде куба.

В начальный момент времени t=0 с температура окружающего воздуха T_a однородна во всей расчетной области, давление определяется распределением Больцмана

$$p_a(x, y, z, 0) = p_{a0} \exp(-m_a gz/RT_a),$$

где p_{a0} – нормальное атмосферное давление.

Скорость движения в начальный момент времени равна нулю во всей расчетной области:

$$\overset{\mathbf{r}}{v} = \overset{\mathbf{r}}{v}(x, y, z, 0) = 0$$
.

В облаке горючей смеси в начальный момент времени давление соответствует распределению давления в окружающей атмосфере и температура в облаке $T_{\rm g}$ однородна и равна температуре окружающего воздуха.

Расчетная область ограничена 6 плоскими границами. Верхняя и боковые границы являются открытыми, и на них для параметров задаются фоновые значения. Нижняя граница является закрытой, и на ней скорость равна нулю.

3. ЧИСЛЕННАЯ СХЕМА

Численная схема решения системы уравнений (3)-(11), (16) основана на методе крупных частиц. К преимуществам данного метода относится устойчивость в широком диапазоне скорости движения среды. Трехмерная постановка задачи позволяет моделировать динамику облака углеводорода при произвольной конфигурации наземных объектов (зданий, лесных насаждений) и с учетом рельефа местности.

Описание работы данной численной схемы применительно к процессам распространения атмосферных выбросов приводится в работе [11]. В настоящее работе к этой схеме добавлена часть, моделирующая процесс горения углеводородов.

При построении алгоритма расчета методом крупных частиц особенно важно выбрать оптимальную последовательность расщепления по физическим процессам. Численный алгоритм решения системы уравнений (3)-(11), (16) на каждом шаге по времени состоит из трех этапов, стандартных для метода крупных частиц, в которых последовательно учитываются сначала (І этап) турбулентный перенос субстанций (массы, импульса и тепла), затем конвективный перенос (П и III этапы). Далее производится расчет процесса горения образовавшейся смеси согласно скоростям реакций (17)-(19), в результате которого происходит изменение масс соответствующих компонент смеси, а также выделение или поглощение тепла в каждой ячейке расчетной сетки. При этом количество участвующих в реакциях компонент смеси должно быть достаточно, чтобы реакции происходили согласно стехиометрическим соотношениям. Если в данной ячейке наблюдается недостаток данного вещества, то соответствующая реакция происходит до полного его израсходования и затем прекращается. Например, по такому сценарию происходит реакция горения углеводорода, которая прекращается при израсходовании, как углеводорода, так и кислорода в смеси в данной ячейке.

4. РЕЗУЛЬТАТЫ РАСЧЕТОВ

В процессе горения смеси углеводорода и воздуха в открытой атмосфере образуется облако раскаленных газов – продуктов горения. При температуре газов выше 1000 К излучение облака находится в видимой области спектра. Такое облако из-за круглой формы часто называют огненным шаром. Основными параметрами огненного шара являются максимальный диаметр $D_{\scriptscriptstyle FR}$ и время жизни $t_{\it FB}$. В результате многочисленных полевых экспериментов [12-15] в открытой местности было показано, что эти параметры определяются начальной массой топлива \boldsymbol{M}_0 и для значений $M_0 = 1 - 10^3$ кг получены эмпирические зависимости в виде

$$D_{FB} = (5.8 - 6.25) M_0^{1/3}$$
 и $t_{FB} = (0.30 - 0.45) M_0^{1/3}$.

Здесь $D_{{\scriptscriptstyle FB}}$, $t_{{\scriptscriptstyle FB}}$, $M_{{\scriptscriptstyle 0}}$ измеряются в м, с и кг, соответственно.

Проведено сравнение результатов расчетов по двум вариантам схемы горения с этими эмпирическими кривыми. Начальное значение массы топлива в облаке горючей газовой смеси варьировалось путем изменения начальных значений объема облака и

углеводорода. В расчетах максимальный диаметр $D_{{\scriptscriptstyle FB}}$ и время жизни $t_{{\scriptscriptstyle FB}}$ огненного шара определялись по уровню температуры 1000 К. Сравнение показывает (рис.1), что расчетные точки $D_{\scriptscriptstyle FR}$ и $t_{{\scriptscriptstyle FR}}$ лежат в коридоре, указанном в эмпирической зависимости. Таким образом, результаты расчетов находятся удовлетворительном согласии с экспериментальными данными. Здесь следует отметить, что в открытой местности легко найти радиус зоны $(R_{\it EV})$ теплового поражения по рассчитанному значению максимального диаметра огненного шара $D_{\scriptscriptstyle FR}$

$$R_{FV} \approx 3.6 R_{FR} = 1.8 D_{FR}$$
.

На основе представленных схем горения возможно рассчитать горения облака углеводородно-воздушной образовавшейся в результате аварийного выброса на местности. Этот процесс можно разделить на 2 этапа – образование облака в результате перемешивания углеводорода с окружающим воздухом и горение этого облака. При этом чаще всего происходит выброс чистого углеводорода, и первоначально его концентрация в облаке близка к единице. Поэтому этап перемешивания с окружающим воздухом должен быть достаточно длительным, чтобы объемное содержание углеводорода в

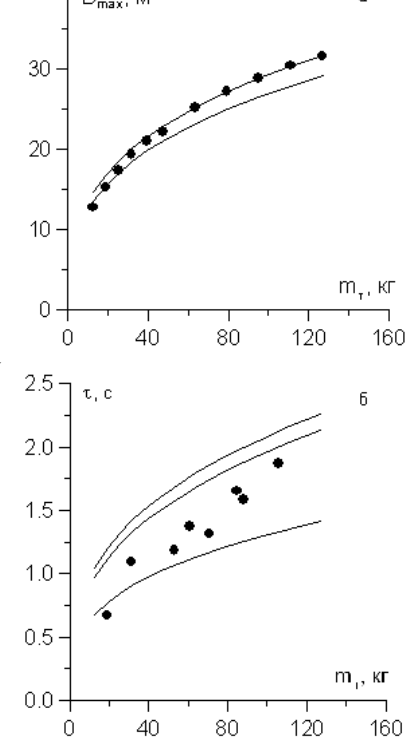
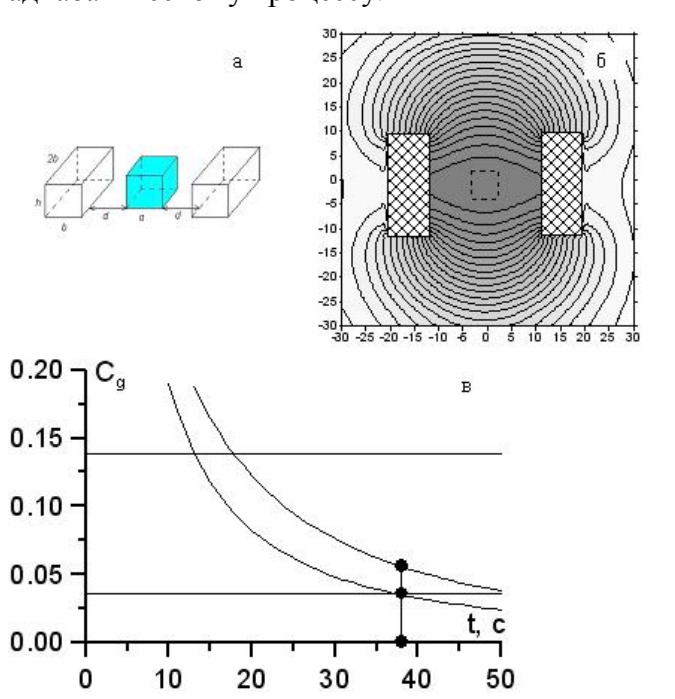


Рис.1. Сравнение результатов расчета результатами физических экспериментов: а – максимальный диаметр огненного шара, б - время жизни огненного шара.

смеси снизилось до значений, входящих в диапазон воспламенения (н-р, для пропана a=2.3-9.5%). Многие углеводородные соединения тяжелее воздуха, и наряду с перемешиванием происходит также их оседание и накопление у подстилающей поверхности, что наиболее опасно с точки зрения ущерба, наносимого в результате горения образовавшегося облака. Такая ситуация часто возникает на промышленных площадках и жилых массивах при утечке бытового газа. Сложная конфигурация объектов приводит к локализации горючей смеси в отдельных участках. Как показывают многочисленные теоретические и экспериментальные исследования [12] наиболее интересным с практической точки зрения является возгорание облаков с начальной массой топлива $M_0=10^1-10^3$ кг. Такие процессы протекают в течение 1-10 с, за которые теплота, выделяемая в процессе горения, не успевает рассредоточиться в пространстве в результате теплопереноса, и температура в облаке достигает высоких значений, соответствующих адиабатическому процессу.



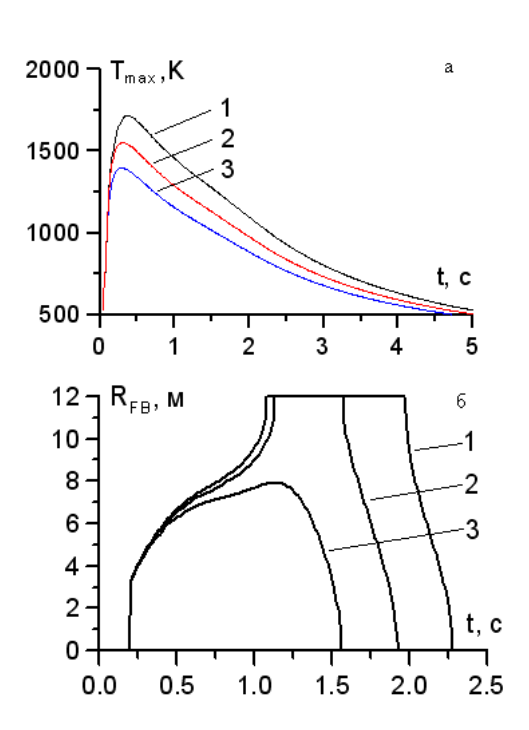


Рис.2. Перемешивание залпового выброса пропана с окружающим воздухом. а — конфигурация строений и начального положения облака (размеры: a =8 м, d =12 м, b = h = 10 м), б - форма облака в момент зажигания (вид сверху), в — максимальное значение концентрации пропана в облаке при наличии и отсутствии строений.

Рис.3. Эволюция максимальной температуры и фронта огненного шара в облаке пропана при различных моментах времени зажигания $t_{_3}=30,\,35,\,40$ с (кривые 1,2,3, соответственно).

Рассмотрим случай залпового выброса пропана в простейшей конфигурации строений – в городском каньоне, образованном двумя зданиями, расположенными симметрично относительно центра выброса. Когда начальные размеры выброса сопоставимы с размерами строений (рис.2а), форма облака определяется преимущественно конфигурацией этих строений [11]. Примем, что в начальный момент времени залповый выброс чистого пропана в виде облака кубической формы

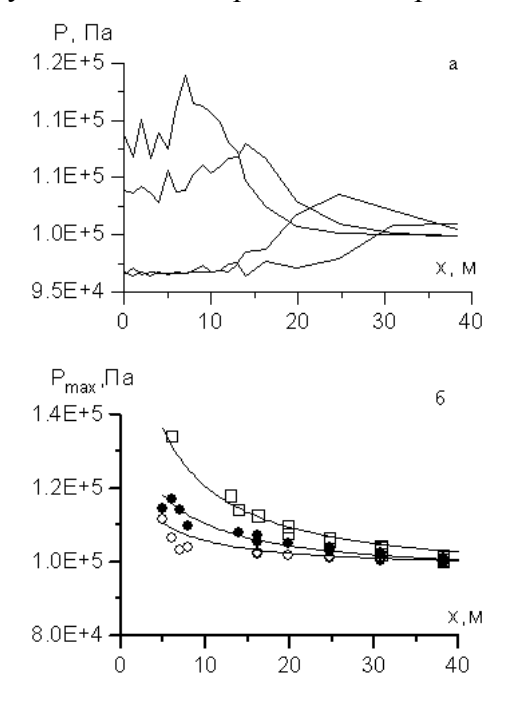
объемом $V=512\,$ м $^3\,$ ($M_0=904\,$ кг) находится на горизонтальной подстилающей поверхности в центре расчетной области на удалении от зданий, равном размеру облака. Температура в облаке равна температуре окружающего воздуха и составляет $T=300\,$ К. В процессе перемешивания с окружающим воздухом значение концентрации горючего газа в центре облака в этом случае снижается со временем значительно медленнее по сравнению с выбросом в отсутствии зданий (рис.2б). Это отличие наблюдается с момента времени ($t=8\,$ с), когда фронт облака достигает строений. Отрезок времени с момента выброса до момента, когда смесь в облаке становится негорючей (т.е. бедной) назовем периодом взрывоопасности t_{es} . Наличие зданий приводит к значительному затягиванию этого периода ($t_{es1}\approx50\,$ с по сравнению с $t_{es2}\approx38\,$ с при отсутствии зданий), т.е. здания препятствуют рассеянию облака. Выберем момент зажигания ($t_s=35\,$ с) для облака в отсутствии зданий, когда концентрация пропана близка к нижнему пределу. При наличии зданий в этот же момент времени концентрация пропана в 1.6 раза выше ($C_{g1}=0.062\,$ и 0.039, соответственно). Казалось бы, незначительное в абсолютном выражении отличие концентраций топлива в смеси приводит к существенному (на 30%) отличию температуры пламени при горении ($T_{max}\approx1700\,$ K и 1300 K, соответственно).

Таким образом, несмотря на сравнительно медленное изменение концентрации пропана в облаке (~1% за $10\,\mathrm{c}$) в ходе перемешивания с окружающим воздухом, момент зажигания t_3 сильно влияет на максимальное значение температуры, достигаемое в облаке в процессе горения, а значит и степень ущерба (рис.3а). Рассмотрим движение фронта огненного шара, за который примем поверхность с температурой $1000\,\mathrm{K}$. При достаточно раннем зажигании (t_3 =30 с и 35 с) фронт достигает стен здания, при позднем (t_3 =40 c) – нет (рис.3б). При этом стены подвергаются тепловому воздействию за счет излучения в течение всего времени жизни огненного шара, т.е. в течение 2-3 с. Также следует подчеркнуть, что здание находится в опасной для живых организмов зоне (ближе, чем $3.6\,\mathrm{pag}$ радиуса огненного шара). Результаты расчетов зоны теплового воздействия получились практически одинаковыми для обеих схем горения.

Рассмотрим далее результаты расчетов зоны разрушений. При использовании первой схемы горения (диффузионный режим) избыточное давление в облаке незначительное (не превышает 0.1 атм). Это связано, по-видимому, с тем, что процесс переноса тепла в этой схеме происходит быстрее, чем энерговыделение. При использовании в расчетах второй схемы в процессе горения наблюдается значительное избыточное давление. В дальнейшем представлены результаты расчетов на основе этой схемы, которые можно считать верхней оценкой избыточного давления.

В открытой местности у подстилающей поверхности амплитуда волны давления быстро убывает (рис.4а и 4б) по мере удаления от очага возгорания. При наличии наземных объектов

происходит многократное отражение волн и их взаимное усиление. При сложной конфигурации объектов простая оценка максимального значения избыточного давления становится затруднительной и приходится обращаться к результатам численных расчетов.



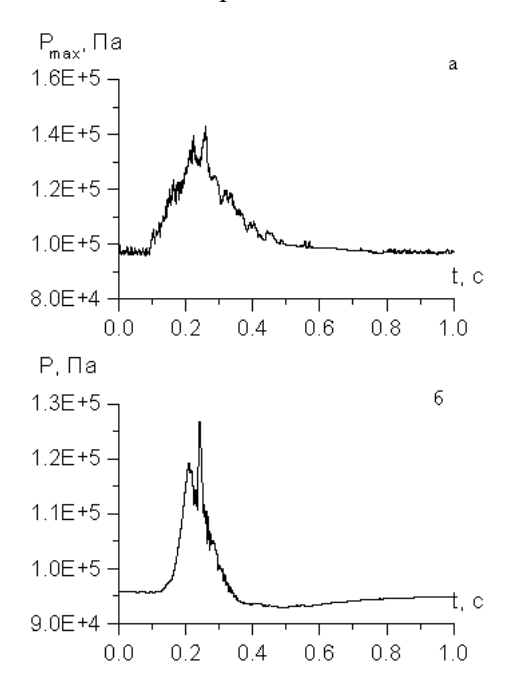


Рис.4. Эволюция волны давления (а) и ее амплитуды (б) при горении облака смеси пропана и воздуха в открытой местности. В (а) представлены профили давления в разрезе облака на высоте 1 м в моменты времени t=10, 15, 20, 25 мс. В (б) представлены амплитуды волны давления для трех случаев горения облака с начальным объемным содержанием пропана $\boldsymbol{a}=0.03, 0.04, 0.05$.

Рис. 5. Эволюция максимального значения давления (а) и давления на стене (б) здания в процессе горения облака пропана между двумя зданиями при зажигании в момент времени t=35 с после выброса.

Рассмотрим волны давления в случае двух зданий, рассмотренном выше. В облаке горючей смеси, образовавшемся в результате перемешивания пропана с воздухом в течение t_s =35 с, максимальное значение объемной доли пропана составляет $a_g \approx 4\%$ (массовая концентрация C_g =0.062). Волна давления за 0.2 с момента зажигания доходит до стены здания (рис.5а), и его амплитуда составляет 0.25 атм, что является достаточным для разрушения здания. Максимальное давление в расчетной области достигает 0.4 атм (рис.5б).

ЗАКЛЮЧЕНИЕ

В работе представлены результаты численных расчетов горения облака пропана в атмосфере на основе двух предельных схем горения. Получены поля температуры и давления при горении пропана в открытой местности и наличии наземных объектов. Рассчитаны зоны разрушений и теплового воздействия продуктов горения на местности. Показано, что наличие наземных объектов существенно усиливает разрушительное действие горения облака выбросов. Это обусловлено, во-первых, затягиванием 1.2-1.5 раза процесса рассеяния облака - концентрация горючего газа дольше находится в диапазоне воспламенения смеси, во-вторых, усилением в 1.5-2 раза избыточного давления в ограниченных объемах между объектами.

СПИСОК ИСПОЛЬЗОВАННЫХ ИСТОЧНИКОВ

- 1. Бесчастнов М.В. Промышленные взрывы. Оценка и предупреждение. М.: Химия, 1991. 432 с.
- 2. Маршалл В. Основные опасности химических производств. Пер. с англ. М.: Мир, 1989. 672 с.
- 3. Щетинков Е.С. Физика горения газов. М.: Наука, 1965. 740 с.
- 4. Махвиладзе Г.М., Робертс Дж.П., Якуш С.Е. Огненный шар при горении выбросов углеводородного топлива: І. Структура и динамика подъема. // Физика горения и взрыва, 1999, Т. 35, № 3. С. 7–19.
- Махвиладзе Г.М., Робертс Дж.П., Якуш С.Е.. Огненный шар при горении выбросов углеводородного топлива: II. Тепловое излучение. // Физика горения и взрыва, 1999, Т. 35, №. 4. С. 12–23.
- 6. Гейдон А.Г., Вольфгард Х.Г. Пламя, его структура, излучение и температура. М.: Металлургиздат, 1959. 333 с.
- 7. Физико-химические процессы в газовой динамике. Справочник в 3-х томах. Т.2: Физико-химическая кинетика и термодинамика. / Под ред. Г.Г.Черного и С.А.Лосева. М.: Изд. МГУ, 2002. 368 с.
- 8. Смирнов Н.Н., Никитин В.Ф. Исследования перехода горения в детонацию в газах. // Успехи механики. 2005, Т.3, N1. С. 3-30.
- 9. Magnussen B.F., Hjertager B.H. On the mathematical modelling of turbulent combustion with special emphasis on soot formation and combustion. // Sixteenth Symp. (Int.) on Combustion, The Combustion Institute, Pittsburgh, PA, 1976. P. 711-729.
- 10. Smirnov N.N., Nikitin V.F., Legros J.C. Ignition and combustion of turbulent dust-air mixtures. // Combustion and Flame. 2000, V.123. P. 46-67.
- 11. Баянов И.М., Гильмуллин М.З., Шагапов В.Ш. Расчет растекания тяжелого газа вдоль земной поверхности по трехмерной модели // Прикладная механика и техническая физика. 2003, Т.44, №6. С. 130-139.
- 12. Johnson D.M., Pritchard M.J. Large-scale experimental study of boiling liquid expanding vapour explosions (BLEVEs). // 14th Int. LNG/LPG Conference & Exhibition, Gastech, 1990. P. 1–30.
- 13. Gayle J.B., Bransford J.W. Size and duration of fireballs from propellant explosions. Tech.Rep.NASA TM X 53314, George C.Marshall Space Center, Huntsville, Alabama, 1965.
- 14. High R.W. The Saturn fireball. // Annals of New York Academy of Sciences, 1968, v.152. P.441–451.
- 15. Roberts A.F. Thermal radiation from releases of LPG from pressurised storage. // Fire Safety Journal, 1981/82, No.4. P.197–212.